

# I-179 多径間吊橋の構造特性について

北海道大学工学部 正員 佐藤 岩一

## 1. まえがき

先に発表した論文<sup>1), 2), 3)</sup>は塔の変形を考慮した多径間吊橋の幾度理論による補剛筋の塊外影響線あるいは曲げモーメント影響線に関するものである。ここでは塔の変形を考慮した塔の塊外影響線、曲げモーメント影響線、剪断力影響線について理論式を導き、数値計算を行つた。

本報告では、塔頂における塔とケーブルとの結合状態は図-1のようヒンジ結合であるとして、塔は死荷重を塔頂部においてケーブルの鉛直反力として負担しているものとし、このよう塔の橋脚方向に水平に  $P=1$  が作用したときを考える。多径間吊橋の  $P=1$  によるケーブルの水平張力は各径間  $\beta$  とし、異なる、補剛筋を基本系にすれば、補剛筋の各支点での支持状態には関係ないが、径間数には関係あり、多径間吊橋では各径間のケーブルの水平張力に関しても次不静定構造物として理論解析する。

## 2. 基本系としての塔(片持梁)の影響線

図-2 のように塔のみを取り出した時、軸圧縮力  $N$  が作用し、更に、 $P$ なる水平集中荷重が作用した時の片持梁の微分方程式は Dirac の Delta 関数を用いれば、

$$EI_z \frac{d^4 w}{dx^4} + N \frac{d^3 w}{dx^3} = P \cdot \delta(x - \beta) \quad (1)$$

軸圧縮力 ( $N$ ) の方向は塔(片持梁)が進んで変わるものとすれば、その時の境界条件は

$$\left. \begin{array}{l} \alpha = 0, w(0) = w'(0) = 0 \\ \alpha = h, w''(h) = 0, w'''(h) = -k^2 w''(h) \end{array} \right\} \quad (2)$$

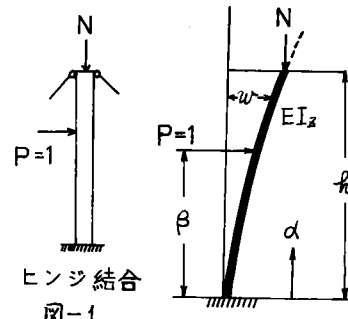


図-2 片持梁の座標と記号

ここで、 $k^2 = N/EI_z$  である。式(1)を Laplace 変換して、式(2)を代入して解けば、

$$w(\alpha, \beta, N) = P \frac{h}{N} \left[ \frac{\sinh(h-\beta) \cosh h \alpha - \sinh(h-\beta) - \sinh(h-\alpha) + \sinh h \alpha}{kh \cosh h} - \frac{\alpha}{h} \right. \\ \left. + \left\{ \left( \frac{\alpha}{h} - \frac{\beta}{h} \right) - \frac{\sinh(h-\beta)}{kh} \right\} E_0(\alpha-\beta) \right] \quad (3)$$

ここで、 $E_0(\alpha-\beta)$  はステップ関数である。式(3)を次式のように表示すれば、 $G_T(\alpha, \beta, N)$  が片持梁の影響線(影響関数)である。  
 $w(\alpha, \beta, N) = P \cdot G_T(\alpha, \beta, N) \quad (4)$

## 3. ケーブルの水平張力の影響線( $P=1$ が塔上を移動する時)

図-3 のような多径間吊橋の  $P=1$  が塔上を移動する時を求める。ただし、図-3において、支点についての番号は補剛筋の支点番号と同時に塔の番号を表示している。したがつて、塔の第1番目と第  $n+1$  番目は存在しないので零である。

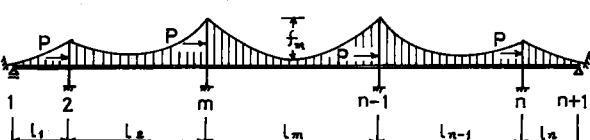


図-3 多径間吊橋の一般図

この時のケーブルの水平張力の影響線  $H_{Tp_i}$  は次式によつて求まる。

$$\begin{bmatrix} \delta_{11} & \delta_{12} & \cdots & \delta_{1n} \\ \delta_{21} & \ddots & & \\ \vdots & & \ddots & \\ \delta_{n1} & \cdots & \cdots & \delta_{nn} \end{bmatrix} \begin{Bmatrix} H_{Tp_1} \\ H_{Tp_2} \\ \vdots \\ H_{Tp_n} \end{Bmatrix} = - \begin{Bmatrix} f_{10} \\ f_{20} \\ \vdots \\ f_{n0} \end{Bmatrix} \quad (5)$$

$$\left. \begin{aligned} \therefore \delta_{ij} &= y''_j \left\{ B'_j(H_j) \cdot M_i(H_i) + B_j(H_j) \cdot M_{i+1}(H_i) \right\} && \text{ただし, } i \neq j-1, i \neq j+1 \\ &\quad i=1, 2, \dots, n; j=1, 2, \dots, n \\ \delta_{ii} &= (y''_i)^2 \frac{l_i^3}{H_i} \left\{ \frac{1}{12} - \frac{1}{(4k_i h_i)^2} \left( 1 - \frac{\tanh \frac{4k_i h_i}{2}}{\frac{4k_i h_i}{2}} \right) \right\} + \frac{L_{ci}}{E_c A_c} && \text{ただし, } i=1, 2, \dots, n \\ &\quad + y''_i \left\{ B'_i(H_i) \cdot M_i(H_i) + B_i(H_i) \cdot M_{i+1}(H_i) \right\} + G_T(h_i, h_i, N_i) + G_T(h_{i+1}, h_{i+1}, N_{i+1}) \\ \delta_{i+1,i} &= y''_{i+1} \left\{ B'_{i+1}(H_{i+1}) \cdot M_{i+1}(H_i) + B_{i+1}(H_{i+1}) \cdot M_{i+2}(H_i) \right\} - G_T(h_{i+1}, h_{i+1}, N_{i+1}) \end{aligned} \right\} \quad (6) \\ \text{ただし, } i=1, 2, \dots, n-1$$

$\cdot M_i(H_i)$  とは、具体的には、第  $i$  スパンに  $y''_i$  なる等分布荷重を載荷した時の  $i$  番目（図-3 参照）の支点モーメントを表示している。したがつて、次式を求まる。詳しくは文献3参照。

$$iM_i(H_i) = y''_i \int_0^{l_i} X_i(\xi_i, H_i) d\xi_i \quad (7)$$

$B'_j(H_j)$ ,  $B_j(H_j)$  につけても文献3参照。補剛筋が各支点で単純支持の場合に式(6)において,  $iM_i(H_i)$  を零とすればよい。一方,  $f_{10}$  曲線は式(4)を用いて次式により求まる。

$$f_{10}(h_m, \beta_m, N_m) = \begin{cases} G_{Ti}(h_i, \beta_i, N_i) & i=m \\ -G_{T2}(h_{i+1}, \beta_{i+1}, N_{i+1}) & i+1=m \\ 0 & i \neq m; i+1=m \end{cases} \quad \text{ただし, } m=1, 2, \dots, n+1 \quad (8)$$

である。今、

$$\begin{bmatrix} \delta_{11} & \delta_{12} & \cdots & \delta_{1n} \\ \delta_{21} & \ddots & & \\ \vdots & & \ddots & \\ \delta_{n1} & \cdots & \cdots & \delta_{nn} \end{bmatrix}^{-1} = \begin{bmatrix} A_{11} & A_{12} & & A_{n1} \\ A_{21} & \ddots & & \\ \vdots & & \ddots & \\ A_{n1} & \cdots & \cdots & A_{nn} \end{bmatrix} \quad (9)$$

とすれば、  
 $H_{Tp_i}(h_m, \beta_m, N_m) = A_{m-i} G_{Tm-i}(h_m, \beta_m, N_m) - A_{m-i} G_{Tm}(h_m, \beta_m, N_m) \quad (10)$   
 で求まる。式(10)は  $P=1$  が塔上を移動する時のケーブルの水平張力の影響線であるが、 $P=1$  が補剛筋上を移動する時のケーブルの水平張力の影響線  $H_{Pi}(\xi_k, H_k)$  は文献3より次式で求まる。

$$H_{Pi}(\xi_k, H_k) = -A_{ji} y''_j \int_0^{l_i} v_B(x_j, \xi_k, H_k) dx_j \quad (11)$$

#### 4. 多径間吊橋の塔の塊の影響線 ( $P=1$ が塔上を移動する時)

式(3), 式(4), 式(10)より多径間吊橋の塔の塊の影響線は次式によつて求まる。

$$w^*(\alpha_i, \beta_m, N_i) = G_{Ti}(\alpha_i, \beta_i, N_i) + \sum_{j=1}^n H_{Tp_j}(h_m, \beta_m, N_m) \cdot G_{Tj}(\alpha_i, h_i, N_i) \quad (12)$$

具体的には、  
 $w^*(\alpha_i, \beta_m, N_i) = \frac{h_i}{N_i} \left[ \frac{\sin k_i(h_i - \beta_i) \cdot \cos k_i h_i - \sin k_i(h_i - \beta_i) - \sin k_i(h_i - \alpha_i) + \sin k_i h_i}{k_i h_i \cdot \cos k_i h_i} \right. \\ \left. - \frac{\alpha_i}{h_i} + \left\{ \left( \frac{\alpha_i}{h_i} - \frac{\beta_i}{h_i} \right) - \frac{\sin k_i(\alpha_i - \beta_i)}{k_i h_i} \right\} E_0(\alpha_i - \beta_i) \right] \\ + \{ H_{Tp_i}(h_m, \beta_m, N_m) - H_{Tp_{i-1}}(h_m, \beta_m, N_m) \} \cdot G_{Ti}(\alpha_i, h_i, N_i) \quad (13)$

ただし、 $i=1, 2, \dots, n+1$ ;  $m=1, 2, \dots, n+1$

一方、 $P=1$ が補剛桁上を移動する時の多径間吊橋の塔の塊み影響線は次式によつて求まる。式(11), 式(4)を用いて,

$$\Delta_T(x_i, \xi_k, N_i, H_k) = \{H_{pi}(\xi_k, H_k) - H_{p+1}(\xi_k, H_k)\} \cdot G_{Ti}(x_i, h_i, N_i) \quad (14)$$

また、多径間吊橋の塔の曲げモーメントおよび剪断力の影響線は式(13), 式(14)を微分することによつて、次式によつて求まる。 $M = -EIw''$ ,  $Q = -EIw'''$  (15)

## 5. 数値計算例

数値計算例として、 $n=5$ (五径間吊橋)とし、次のような断面諸元を用いた。

$$\begin{aligned} l_1 &= 500\text{m}, l_2 = 1250\text{m}, l_3 = 1500\text{m}, l_4 = 1250\text{m}, l_5 = 500\text{m}, f_1 = 16.667\text{m}, f_2 = 104.16\text{m}, \\ f_3 &= 150\text{m}, f_4 = 104.16\text{m}, f_5 = 16.667\text{m}, I_1 = 2.314\text{m}^4, I_2 = 5.784\text{m}^4, I_3 = 6.941\text{m}^4, \\ I_4 &= 5.784\text{m}^4, I_5 = 2.314\text{m}^4, E = 2.1 \times 10^{11}\text{N/m}^2, E_c = 2.0 \times 10^{11}\text{N/m}^2, A_c = 0.72594\text{m}^2, \\ H_g &= 327.94\text{t}, I_{g2} = 57.84\text{m}^4, I_{g3} = 69.41\text{m}^4, I_{g4} = 69.41\text{m}^4, I_{g5} = 57.84\text{m}^4, \\ h_2 &= 80\text{m}, h_3 = 200\text{m}, h_4 = 200\text{m}, h_5 = 80\text{m}, N_{g2} = 15000\text{t}, \\ N_{g3} &= 20000\text{t}, N_{g4} = 20000\text{t}, N_{g5} = 15000\text{t} \end{aligned}$$

図-4は集中荷重 $P=1$ が作用した時の塔と補剛桁の塊みの正負を示してある。図-5は $P=1$ の載荷方向を塔と補剛桁に区別して表示したものである。図-6は $P=1$ が補剛桁上を移動する時の第3径間のケーブルの水平張力の影響線を補剛桁の各支点での支持状態により単純支持と連続支持とを区別して図示している。この図よ

りわかることは単純支持と連続支持との差はほとんどないことがわかる。図-7は同様にローラー結合とヒンジ結合の場合のケーブルの水平張力の影響線である。

点線が従来の理論によるローラー結合であり、実線がヒンジ結合である。これよりケーブルの水平張力の影響線は従来の理論となり異なることがある。図-8は单純支持と連続支持の場合の第3塔(図-3参照)の塔頂の塊み影響線である。

これより補剛桁の支持状態による差はほとんどないことがわかる。まだ、塔に集中荷重 $P=1$ を作用した場合より補剛桁に $P=1$ が作用した時の方が塔の塊みが大きいことがわかる。図-9は同様に第3塔の塔頂①、塔頂より1/4点②、塔頂より1/2点③の塊みの影響線を図示したものである。これらは連続支持の

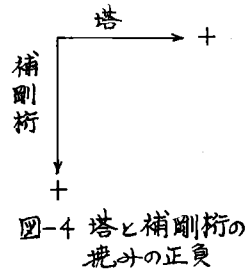


図-4 塔と補剛桁の塊みの正負

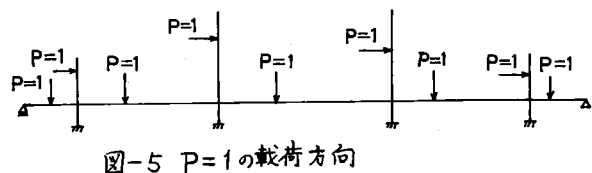


図-5  $P=1$ の載荷方向

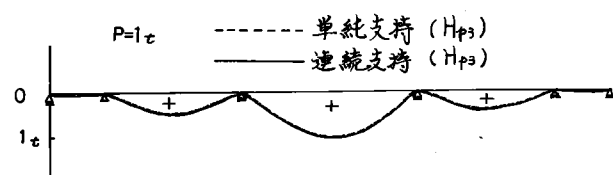


図-6 ケーブルの水平張力のInf. Line  
( $P=1$ が補剛桁上を移動)

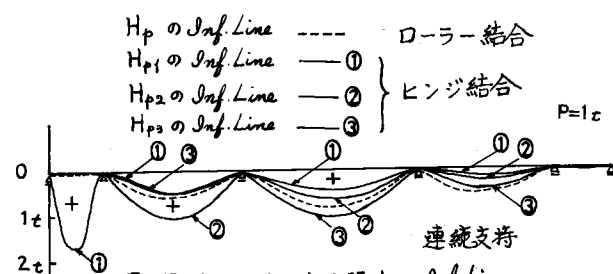


図-7 ケーブルの水平張力のInf. Line  
( $P=1$ が補剛桁上を移動)

場合のみであるが、単純支持としま  
もほとんど差がないので省略する。  
図-10は第3塔の固定端の曲げモー  
メントの影響線に關し、単純支持の  
場合と連続支持の場合とを比較しな  
がら図示したものである。この図か  
ら補剛桁の支持状態による差はほと  
んどないことがわかる。また、塔に  
 $P=1$ を作用した場合より補剛桁に  $P$   
 $= 1$  が作用した時の方が塔の固定端  
の曲げモーメントの値が大きいこと  
がわかる。図-11は第3塔の塔頂の  
剪断力の影響線に關し、単純支持の  
場合と連続支持の場合とを比較して  
図示したものである。この図からも  
補剛桁の支持状態の差はほとんどな  
いことがわかる。

#### 6.あとがき

1). 多径間吊橋の塔の影響線を求める式を説明し、長大吊橋では、塔上  
に  $P=1$  が作用した場合より補剛桁に  
 $P=1$  が作用した場合の方が塔の断面  
力および地盤力が大きいことが判明し  
た。また、補剛桁の支持状態による  
差はほとんどなくなる。

2). 文献③と同様に説明した補剛桁  
ヒダの影響線を多径間吊橋の地震応  
答解析に用いることができる。

本計算は北海道大学大型計算機セ  
ンターのFacom 230-60を利用した。

最後に、本報告の作成にあたり、  
終始御指導をいただり、北海道大学工学部土木工学科 渡辺昇 教授に謝意を表します。

参考文献 1). 佐藤浩一：多径間吊橋の塔の曲げ剛性が断面力特性に及ぼす影響について 北海道  
支部研究発表会論文集1970年2月 2). 渡辺昇、佐藤浩一：塔の変形を考慮した多径間吊橋の構造特性  
について 土木学会第25回国次学術講演 3). 佐藤浩一：塔の変形を考慮した多径間吊橋の強度理論  
と各種影響線の計算 土木学会論文報告集 No.190, 1971年6月

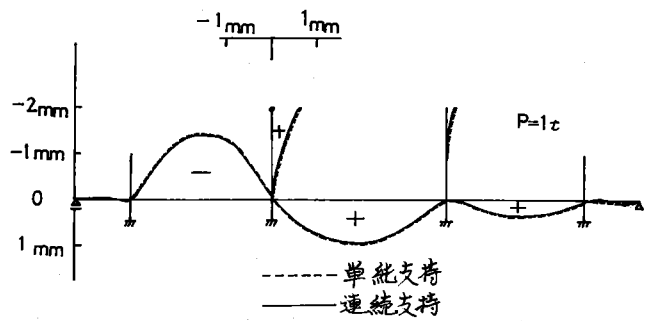


図-8 主塔の固定端 Inf. Line (塔頂)

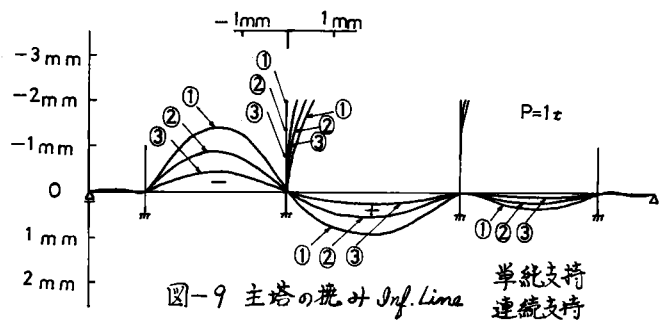


図-9 主塔の塔頂 Inf. Line 単純支持 連続支持

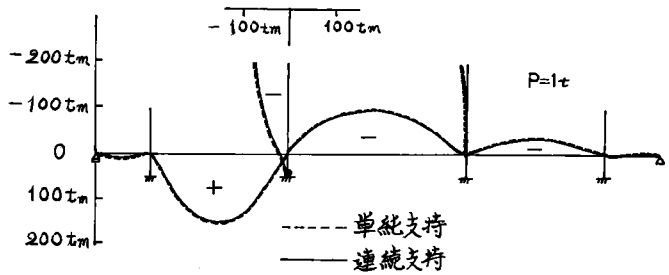


図-10 主塔の固定端の曲げモーメント Inf. Line

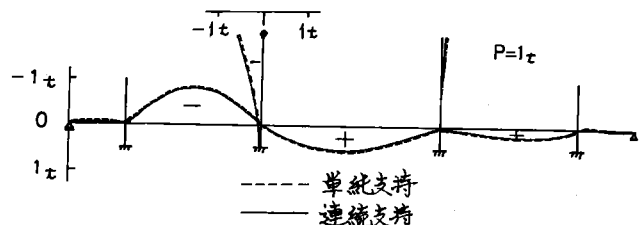


図-11 主塔の塔頂の剪断力 Inf. Line

538